

河川水位との応答からみた浅層地下水の挙動

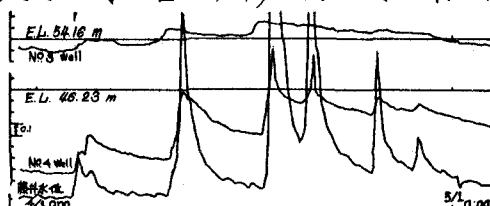
京都大学工学部 正員 石原謙次郎
 京都大学工学部 正員 尾島 勝
 京都大学防災研究所 正員 ○清水正喜
 鳩池組 中島 豊

① まえがき 地下水の挙動をしらべる方法として、通常用いられるのは、等地下水圧線を描くことである。しかし、それを正しく描くことは、観測井戸の分布状態などを考へると非常に困難であり、また、大がかりな掘さくを必要とする場合も少なくない。そこで、地下水位記録と河川水位とから、地下水の動きを推定する方法として、つぎのように考える。すなわち、河川水位と地下水位との間に何らかの応答があることを確かめた上で、両者の間の動水勾配を計算し、観測井戸近傍の地下水の流れの向きを推定する。さらに、それを利用して、河川水位と地下水位との応答を熱伝導現象として捉えて解析する際の熱源からの距離を決定する。つぎに薄水層定数については、土を採取して実験から求めるだけでなく、地下水位の記録から決定する方法について論じる。

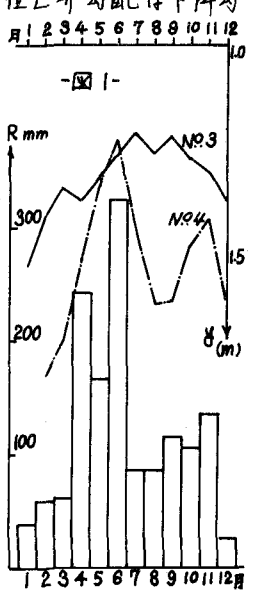
② 地下水位変化の定性的考察 地下水位変化に影響を与える要因には、降水の長期的地下水涵養、河川水との応答、および気圧などがある。長期間の地下水位変動は、主に降水による涵養を考へて、地下水位変化から河川との応答その他の短時間変動を除くため、井水位毎日0時の月平均をとり、月別降水量と併せて図示する(図1)。この図から明らかに両者は相関性をもち、降水が地下水を長期的に涵養していることがうかがえる。つぎに4時間間隔でとった地下水位と河川水位とをある期間図示する(図2)。この図からわかるように同一流域内の河川水位と地下水位との間に、かなり高い相関性がみとめられ、河川水位変化の急激なにくびれて、地下水のそれは緩慢であり、また地下水位上界勾配は下降勾配よりかなり急である。さらに河川から遠距離にある井戸(No.3)の水位変化は近い井戸(No.4)に比して緩慢であることもわかる。

③ 地下水の動きの推定 河川に囲まれた井戸近傍の地下水の流れ方向を推定する方法について述べる。観測井戸の取水対象とする同一層を河川が貫通している場合に限る。観測井戸(W)の井水位 H_W 、周囲の河川各地点(I)の水位 H_I 、動水勾配 G_i とすると、 $G_i = (H_W - H_I)/L_i$ ここで L_i は、WとIとの距離である。こうして求めた G_i をベクトルと考えて、方向はW-Iにとり、向きは $G_i > 0$ のとき始点をWに、 $G_i < 0$ のとき終点をWにとるものとする。いま、2つの井戸について、 G_i の実際の結果を描くと、

図3のようである。
水を対象流域の全観測井について描けば、その流域の浅層地下水の



-図2-



-図1-

流水の向きが推定できる。 H_i は、すべて観測値をとることは不可能であり、著者は、上流側量水標水位と下流側水位とを、距離に応じて直線的に変化するも^りとして、中间点水位 H_i を求める。

④ 河川水位と地下水位との応答解析 ①基礎方程式とその解 一次元非定常浸透流は、浸透量係数 T 、有効間隙率 S 、 $x=0$ から x の地下水位上昇量 $H(x,t)$ を用いて、つぎのように表わせる。

$$\frac{\partial^2 H(x,t)}{\partial x^2} = \left(\frac{S}{T}\right) \frac{\partial H(x,t)}{\partial t} \quad (4)$$

x は、 G_i の最大値をとる方向の河川までの距離をとるものとする。境界条件、および初期条件は、 $H(x,t)=f(t)$ ； $x=0$ 、 $\frac{\partial H(x,t)}{\partial t}=0$ ； $x=\infty$ 、 $H(x,0)=0$ ————— (2)

$f(t)$ は河川水位であり、勾配 C_i からなる直線で構成されていふと近似する(図4)。②の解は

$$H(x,t) = \sum_{i=1}^{N-1} [(C_i - C_{i-1})(t - T_{i-1}) 4i^2 \operatorname{erfc}(u_i)] \quad (3)$$

ここで $u_i = x / \sqrt{4(T/S)(t - T_{i-1})}$ 、 $\operatorname{erfc}(u_i) = 1 - \frac{2}{\sqrt{\pi}} \int_0^{u_i} e^{-u^2} du$ (余誤差関数¹⁾)、 N は $t - T_{i-1} > 0$ を満たすも^り最大値とする。(3)から $H(x,t)$ を決定するためには、 T/S を決定する必要がある。③ T/S の決定 方程式(1)は H のかわりに、初期および境界条件(2)も $x=0$ を除いてそのままにして解くと、未知定数 C を含み、つぎのよう^に表わせる。

$$y = C \cdot t^{1/2} e^{-x^2/(4T/St)} \quad (4)$$

C を決定するため¹⁾ Ferris はつぎの仮定を設けた。すなはち y の水位下降を生じた地下水の総体積が河川に流出し、その割合 Q は一定である。(4)は、この仮定から。

$$y = (Qx/2T) [e^{-u^2}/u\sqrt{\pi} - \operatorname{erfc}(u)] \equiv (Qx/2T) \cdot D(u) \quad (5)$$

$$\text{ここで } u^2 = x^2 / 4T/S \quad (6)$$

(5)式の両辺に y, x, t を与えても T/S を決定できず試算法による外れ。

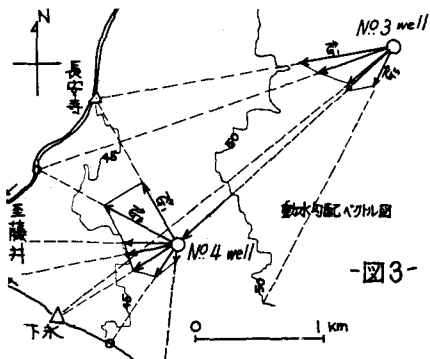
そこで Theis の収水理論における因式解法と同様の手法を適用するため(5)、(6)式の両辺、対数をとり、

$$\log y = [\log(Qx/2T)] + \log D(u) \quad \log(1/t) = [\log(4T/x^2S)] + \log u^2 \quad [] ; \text{定数となる}$$

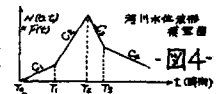
そこで上の仮定 y 最もよく一致する期間 t について、 $u^2 - D(u)$ の標準曲線 γ 、観測データから得た $1/t - 1/t^2$ を別々に両対数紙上にプロットして、両者を重ね合わせて、その合致する一実から、 T/S を決定する。図5は模式図を示した。¹⁾

⑤ あとがき 井水位観測記録を実際¹⁾解析している例は少ないのが現状である。本論文で述べた方法は、も^うデータを有効に解析する上で有用であると考える。等地下水圧線を描いて x を定めるより、③の方法で x を定めると簡単でありかつ信頼性があると思われる。土を採取して求めた T/S の値の信頼性を考えると、④の②で求めた値を用いるが簡単であり、信頼性も大きいことが実証されている¹⁾。なお、解析に用いた井戸データは、奈良県府耕地課から貸与されたものであることを付記して、謝意を表する。

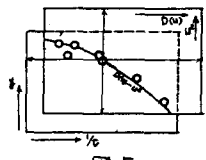
参考文献⁴⁾ "Mechanics of Bank Seepage during Flood Flows" by Ernest Christian Pogge



-図3-



-図4-



-図5-